

УДК 004.032.2: 004.932

## АЛГОРИТМ ДЕКОДИРОВАНИЯ КОДОВ С МАЛОЙ ПЛОТНОСТЬЮ ПРОВЕРЕК НА ЧЕТНОСТЬ С БОЛЬШИМ РАСПАРАЛЛЕЛИВАНИЕМ

**Ф. И. Иванов,**

аспирант

**И. В. Жилин,**

аспирант

**В. В. Зяблов,**

доктор техн. наук, профессор

Институт проблем передачи информации им. А. А. Харкевича, г. Москва

Предложена модификация алгоритма декодирования *belief propagation* для кодов с малой плотностью проверок на четность, основанных на матрицах перестановок. Представленный в работе алгоритм имеет векторную реализацию. Приведены результаты моделирования данного алгоритма при передаче кодового слова с помощью двоичной фазовой модуляции по каналу с аддитивным белым гауссовым шумом.

**Ключевые слова** — МПП-код, векторный декодер, матрица перестановок.

### Введение

Двоичные коды с малой плотностью проверок на четность (МПП-коды) были предложены Галлагером [1]. Данные линейные блочные коды задаются с помощью проверочной матрицы  $\mathbf{H}$ , характеризующейся относительно малым числом единиц в строках и столбцах. Часто проверочную матрицу  $\mathbf{H}$  МПП-кода удобно представлять в виде графа Таннера [2].

Также в работе [1] был предложен итеративный алгоритм декодирования «распространения доверия» (*belief propagation*). Данный алгоритм основан на декодировании по апостериорным вероятностям на выходе канала и требует порядка  $O(n \log(n))$  операций, где  $n$  — длина кода.

Помимо случайных МПП-кодов нередко используют алгебраические МПП-коды, основанные на матрицах перестановок специального вида [3–7].

В данной работе рассмотрена модификация алгоритма декодирования «распространения доверия» для случая, когда проверочная матрица  $\mathbf{H}$  кода с малой плотностью проверок на четность состоит из произвольных матриц перестановок. Основное преимущество данного алгоритма заключается в том, что он имеет параллельную реализацию, работая не с отдельными символами, а с векторами.

### Структура проверочной матрицы случайного МПП-кода

Для лучшего понимания изложенного в статье материала мы приведем алгоритм построения проверочной матрицы случайного МПП-кода.

В 1960 г. Р. Галлагер предложил алгоритм генерации проверочной матрицы  $\mathbf{H}$  случайного кода с малой плотностью проверок на четность [1]. Ниже приведен алгоритм построения этой матрицы.

Пусть  $\mathbf{H}$  — проверочная матрица кода проверки на четность длины  $n_0$ :

$$\mathbf{H}_0 = \underbrace{(\mathbf{1} \ \mathbf{1} \ \dots \ \mathbf{1})}_{n_0}.$$

Запишем блочно-диагональную матрицу  $\mathbf{H}_m$  с  $m$  проверочными матрицами  $\mathbf{H}_0$  на главной диагонали:

$$\mathbf{H}_m = \underbrace{\begin{pmatrix} \mathbf{H}_0 & \mathbf{0} & \dots & \mathbf{0} \\ \mathbf{0} & \mathbf{H}_0 & \ddots & \vdots \\ \vdots & \ddots & \ddots & \mathbf{0} \\ \mathbf{0} & \dots & \mathbf{0} & \mathbf{H}_0 \end{pmatrix}}_m,$$

где  $m$  достаточно велико. Так как размер матрицы  $\mathbf{H}_0$  равен  $1 \times n_0$ , то размер матрицы  $\mathbf{H}_m$  —  $m \times mn_0$ .

Пусть  $\pi(\mathbf{H}_m)$  — случайная перестановка столбцов матрицы  $\mathbf{H}_m$ . Тогда матрица  $\mathbf{H}$ , составленная из  $l > 2$  таких перестановок в качестве слоев:

$$\mathbf{H} = \begin{pmatrix} \pi_1(\mathbf{H}_m) \\ \vdots \\ \pi_l(\mathbf{H}_m) \end{pmatrix},$$

является разреженной проверочной матрицей размера  $ml \times mn_0$ , которая определяет ансамбль МПП-кодов Галлагера длины  $n = mn_0$ . Обозначим этот ансамбль  $\varepsilon_G(l, n_0, m)$ .

Элементы ансамбля  $\varepsilon_G(l, n_0, m)$  получаются путем независимого выбора без возвратов перестановок  $\pi_i, i = 1 \dots l$ . Все перестановки выбираются равновероятно, таким образом, на ансамбле  $\varepsilon_G(l, n_0, m)$  задано равномерное распределение вероятностей.

Проверочная матрица  $\mathbf{H}$  МПП-кода Галлагера, построенная указанным выше способом, содержит  $l$  единиц в каждом столбце и  $n_0$  единиц в каждой строке. Такие кодовые конструкции называются регулярными  $(l, n_0)$ -кодами.

Нижняя оценка на скорость  $R$  кода из  $\varepsilon_G(l, n_0, m)$  определяется формулой  $R \geq 1 - l(1 - R_0)$ , где  $R_0 = (n_0 - 1)/n_0$  — скорость кода проверки на четность. Таким образом, получим оценку на скорость МПП-кода Галлагера

$$R \geq 1 - \frac{l}{n_0}. \quad (1)$$

### Декодирование случайного МПП-кода Галлагера

Для большего понимания алгоритма декодирования МПП-кодов, основанных на матрицах перестановок, который будет рассмотрен ниже, в данном разделе мы напомним классический алгоритм декодирования, предложенный Галлагером [1]. Описанный здесь декодер относится к классу так называемых вероятностных алгоритмов декодирования. На вход алгоритму передается оценка вероятностного распределения символов, полученная из канала, и далее декодер работает с численными значениями вероятностей.

Рассматриваемый декодер МПП-кодов работает с представлением кода в виде фактор-графа, также известного как граф Таннера.

Граф Таннера — это двудольный граф, состоящий из двух подмножеств вершин: вершин-символов (вершин-переменных) и вершин-проверок (рис. 1). Ребро соединяет вершину-переменную и вершину-проверку в том случае, если соответствующая переменная (символ) входит в проверку.

Рассматриваемый алгоритм является итеративным. Каждая итерация состоит из последова-

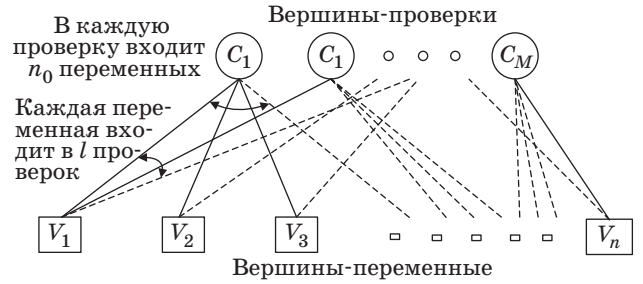


Рис. 1. Граф Таннера регулярного  $(l, n_0)$  МПП-кода длины  $n$

тельной обработки сначала данных вершин-проверок, а затем вершин-переменных.

Пусть  $1 \leq i \leq n, 1 \leq j \leq M$ , где  $n = mn_0$  (длина кода),  $M = ml$  (количество проверок на четность). Введем некоторые обозначения:

LLR — логарифм отношения правдоподобия (log likelihood ratio);

$\alpha_i$  — знак LLR  $i$ -й переменной из канала;

$\beta_i$  — модуль LLR  $i$ -й переменной из канала;

$\alpha'_i$  — вычисленный знак LLR  $i$ -й переменной;

$\beta'_i$  — вычисленный модуль LLR  $i$ -й переменной;

$\gamma_{ji}$  — сообщение от  $j$ -й проверки к  $i$ -й переменной;

$\alpha_{ji}$  — знак сообщения от  $i$ -й переменной к  $j$ -й проверке (принимает значения +1 или -1);

$\beta_{ji}$  — модуль сообщения от  $i$ -й переменной к  $j$ -й проверке;

$I(j)$  — набор переменных  $i_k$ , которые участвуют в проверке  $j$ ;

$I(j) \setminus i$  — набор  $I(j)$ , кроме бита  $i$ ;

$J(i)$  — набор проверок, в которых участвует  $i$ -я переменная;

$J(i) \setminus j$  — набор  $J(i)$ , кроме бита  $j$ .

Декодер включает в себя следующие шаги.

1. *Инициализацию*: присвоим  $\forall j = 1 \dots M: \alpha_{ji}\beta_{ji} = \alpha_i\beta_i$ .

2. *Горизонтальный шаг*: вычисление сообщений от вершин-проверок к вершинам-переменным; при использовании LLR оно будет выглядеть следующим образом:

$$\gamma_{ji} = \left( \prod_{i' \in I(j) \setminus i} \alpha_{ji'} \right) \phi \left( \sum_{i' \in I(j) \setminus i} \phi(\beta_{ji'}) \right),$$

где функция

$$\phi(x) = \ln \frac{e^x + 1}{e^x - 1}.$$

3. *Вертикальный шаг*: вычисление сообщений от вершин-переменных к вершинам-проверкам:

$$\alpha'_i\beta'_i = \alpha_i\beta_i + \sum_{j \in J(i)} \gamma_{ji};$$

$$\alpha_{ji}\beta_{ji} = \alpha_i\beta_i + \sum_{j' \in J(i) \setminus j} \gamma_{j'i}.$$

Далее по вычисленным  $\alpha_i \beta_i (1 \leq i \leq n)$  строится вектор  $\mathbf{x}$ , который является «жестким решением», и проверяется равенство нулю синдрома  $\mathbf{H}\mathbf{x}^T$ .

Горизонтальный и вертикальный шаги выполняются ограниченное число раз. В случае если все проверки оказались выполнены (синдром равен нулевому вектору), алгоритм может быть остановлен досрочно. Если достигнуто максимальное число итераций, то исполнение алгоритма прерывается и блок считается принятым с ошибкой. Возможны и другие критерии остановки.

Отметим также, что если составить  $M \times n$  матрицу

$$\mathbf{H} = \{h_{ji} : h_{ji} = 1 \leftrightarrow i\text{-я переменная входит в } j\text{-ю проверку, } h_{ji} = 0 \text{ иначе}\},$$

то  $\mathbf{H}$  будет являться проверочной матрицей МПП-кода. Таким образом, существует взаимно-однозначное отображение между фактор-графом и проверочной матрицей МПП-кода. Данный факт позволяет дать процессу декодирования матричное описание.

### МПП-коды, основанные на матрицах перестановок

*Определение:* Пусть  $m, n_0, l \in \mathbb{N}$ , причем  $n_0 > l, m > ln_0$ . Рассмотрим группу  $P_m$  матриц перестановок размерности  $m, |P_m| = m!$ . Выберем  $ln_0$  случайных матриц  $\{\mathbf{P}_{ji}\} \in P_m, i = 1 \dots l, j = 1 \dots n_0$ . Потребуем также, что если  $\mathbf{P}_{ji} = \mathbf{P}_{ks}$ , то  $j = k, i = s$ . Ясно, что такие условия выбора матриц перестановок  $\mathbf{P}_{ji}$  соответствуют урновой модели без возвратов. Построим проверочную матрицу  $\mathbf{H}$  следующего вида:

$$\mathbf{H} = \begin{pmatrix} \mathbf{P}_{11} & \dots & \dots & \mathbf{P}_{1n_0} \\ \dots & \dots & \dots & \dots \\ \mathbf{P}_{l1} & \dots & \dots & \mathbf{P}_{l,n_0} \end{pmatrix}. \quad (2)$$

Указанный выше способ построения матрицы  $\mathbf{H}$  гарантирует, что все матрицы в каждой строке и каждом столбце будут различны. Так как  $\mathbf{P}_{ji}$  — квадратная  $m \times m$  матрица, то размерность  $\mathbf{H} - ml \times mn_0$ .  $\mathbf{H}$  определяет ансамбль регулярных  $(l, n_0)$ -кодов с малой плотностью проверок на четность длины  $n = mn_0$ , который мы обозначим  $\varepsilon_P(l, n_0, m)$ . Элементы ансамбля  $\varepsilon_P(l, n_0, m)$  получаются путем выбора без возвратов матриц перестановок  $\{\mathbf{P}_{ji}\} \in P_m, j = 1 \dots l, i = 1 \dots n_0$ . Произвольный код  $C \in \varepsilon_P(l, n_0, m)$  назовем *кодом, основанным на матрицах перестановок*.

Как и для произвольного кода из ансамбля  $\varepsilon_G(l, n_0, m)$ , для кода из  $\varepsilon_P(l, n_0, m)$  также справедлива оценка на скорость (1).

Одним из наиболее распространенных на практике и простых по структуре кодов из ан-

самбля  $\varepsilon_P(l, n_0, m)$  является квазициклический МПП-код.

Дадим определение ансамбля таких кодов.

*Определение:* Пусть  $l, n_0 \in \mathbb{N}, n_0 > l, \mathbf{I}_{p_{ji}}$  —  $m \times m$  матрица  $p_{ji}$ -кратного циклического сдвига столбцов единичной  $m \times m$  матрицы  $\mathbf{I}, 1 \leq j \leq l, 1 \leq i \leq n_0, 1 \leq p_{ji} \leq m$ . Построим  $l \times n_0$  матрицу  $\mathbf{H}$  следующего вида:

$$\mathbf{H} = \begin{pmatrix} \mathbf{I}_{p_{11}} & \dots & \mathbf{I}_{p_{1n_0}} \\ \dots & \dots & \dots \\ \mathbf{I}_{p_{l1}} & \dots & \mathbf{I}_{p_{l,n_0}} \end{pmatrix}.$$

Поскольку размерность  $\mathbf{I}_{p_{ji}} - m \times m$ , то размерность  $\mathbf{H} - ml \times mn_0$ .  $\mathbf{H}$  определяет ансамбль регулярных  $(l, n_0)$  МПП-кодов длины  $n = mn_0$ . Обозначим этот ансамбль  $\varepsilon_Q(l, n_0, m)$ . Элементы ансамбля  $\varepsilon_Q(l, n_0, m)$  получаются путем равновероятного выбора (возможно, с возвращениями) матриц  $p_{ij}$ -кратных циклических сдвигов. Произвольный код  $C \in \varepsilon_Q(l, n_0, m)$  назовем квазициклическим МПП-кодом.

Очевидно, что ансамбль  $\varepsilon_Q(l, n_0, m)$  является подансамблем ансамбля  $\varepsilon_P(l, n_0, m)$ . В то же время, поскольку проверочная матрица  $\mathbf{H}$  квазициклического МПП-кода полностью определяется набором из  $ln_0$  чисел  $p_{ji}, 0 \leq p_{ji} \leq m - 1, 1 \leq j \leq l, 1 \leq i \leq n_0$ , то для хранения  $\mathbf{H}$  нам достаточно хранить матрицу

$$\tilde{\mathbf{H}} = \begin{pmatrix} p_{11} & p_{12} & \dots & p_{1n_0} \\ \dots & \dots & \dots & \dots \\ p_{l1} & p_{l2} & \dots & p_{l,n_0} \end{pmatrix}.$$

Хранение данной матрицы вместо  $\mathbf{H}$  позволяет существенно оптимизировать процедуру хранения. Поскольку для представления проверочной матрицы  $\mathbf{H}$  в форме (2) нам потребовалось бы  $mln_0$  чисел, то достигается  $m$ -кратная экономия памяти. Матрицы перестановок  $\mathbf{P}_{ji}$ , использованные в (2), для квазициклического МПП-кода являются матрицами  $p_{ji}$ -кратного циклического сдвига.

Отметим, что из работ [8, 9] следует, что коды из ансамблей  $\varepsilon_P(l, n_0, m), \varepsilon_Q(l, n_0, m)$  и  $\varepsilon_G(l, n_0, m)$  при одинаковых параметрах обладают практически одинаковыми корректирующими свойствами.

### Вычисление синдрома для МПП-кода, основанного на матрицах перестановок

Пусть  $\mathbf{H} = \begin{pmatrix} \mathbf{P}_{11} & \dots & \dots & \mathbf{P}_{1n_0} \\ \dots & \dots & \dots & \dots \\ \mathbf{P}_{l1} & \dots & \dots & \mathbf{P}_{l,n_0} \end{pmatrix}$  — проверочная

матрица регулярного  $(l, n_0)$ -кода с малой плотно-

стью проверок на четность, причем размер  $\mathbf{P}_{ji}$ ,  $1 \leq j \leq l$ ,  $1 \leq i \leq n_0$ , равен  $m \times m$ , тогда матрицу  $\mathbf{H}$  можно представить в следующем виде:

$$\mathbf{H} = \begin{pmatrix} \pi_{11} & \dots & \dots & \pi_{1n_0} \\ \dots & \dots & \dots & \dots \\ \pi_{1l} & \dots & \dots & \pi_{l, n_0} \end{pmatrix}, \quad (3)$$

где  $\pi_{ji}$  — перестановка, соответствующая матрице  $\mathbf{P}_{ji}$ .

Поскольку длина МПП-кода с проверочной матрицей  $\mathbf{H}$  равна  $n = mn_0$ , то кодовое слово  $\mathbf{c} = (c_1, c_2, \dots, c_n)$ ,  $c_i \in GF(2)$ , можно представить в следующем виде:

$$\mathbf{c} = (\bar{c}_1, \bar{c}_2, \dots, \bar{c}_{n_0}), \quad (4)$$

где  $\bar{c}_i$  — двоичный вектор длины  $m$ . Напомним, что синдром  $\mathbf{S}$  для принятого слова  $\mathbf{u}$  вычисляется по формуле  $\mathbf{S} = \mathbf{H}\mathbf{u}^T$ , причем  $\mathbf{S} = \mathbf{0}$  тогда и только тогда, когда  $\mathbf{u}$  является кодовым словом.

Пусть проверочная матрица задана соотношением (3), а принятое слово  $\mathbf{u}$  — соотношением (4), тогда  $\mathbf{u}$  является кодовым тогда и только тогда, когда

$$\begin{pmatrix} \pi_{11} & \dots & \dots & \pi_{1n_0} \\ \dots & \dots & \dots & \dots \\ \pi_{1l} & \dots & \dots & \pi_{l, n_0} \end{pmatrix} \begin{pmatrix} \bar{y}_1 \\ \dots \\ \bar{y}_{n_0} \end{pmatrix} = \begin{pmatrix} \mathbf{0} \\ \dots \\ \mathbf{0} \end{pmatrix}.$$

Последнее соотношение эквивалентно следующей системе из  $l$  уравнений:

$$\begin{cases} \pi_{11}(\bar{y}_1) + \pi_{12}(\bar{y}_2) + \dots + \pi_{1n_0}(\bar{y}_{n_0}) = \mathbf{0} \\ \dots \\ \pi_{l1}(\bar{y}_1) + \pi_{l2}(\bar{y}_2) + \dots + \pi_{ln_0}(\bar{y}_{n_0}) = \mathbf{0} \end{cases}.$$

Таким образом, доказано следующее утверждение.

Вектор  $\bar{\mathbf{y}} = (\bar{y}_1, \bar{y}_2, \dots, \bar{y}_{n_0})$ , где  $\bar{y}_i$  — двоичный вектор длины  $m$ , является кодовым словом кода с малой плотностью проверок на четность длины  $n = mn_0$ , задаваемого проверочной матрицей (3), тогда и только тогда, когда выполняется  $l$  соотношений

$$\sum_{i=1}^{n_0} \pi_{ji}(\bar{y}_i) = \mathbf{0}, \quad j = 1 \dots l.$$

Как следует из утверждения, для МПП-кода, основанного на матрицах перестановок, вычисление синдрома ошибки имеет векторный характер: в вычислениях используются не отдельные символы принятого слова, а блоки длины  $m$ .

### Декодирование МПП-кодов, основанных на матрицах перестановок

Предлагаем модификацию алгоритма belief propagation для кодов с малой плотностью проверок на четность, основанных на матрицах перестановок. Основная идея предложенной модификации заключается в одновременной обработке  $m$  символов принятого слова (т. е. алгоритм работает с векторами длины  $m$ ), в то время как классический алгоритм belief propagation не предусматривает такую возможность. Векторный характер декодирования принятого слова, как будет показано, позволяет распараллелить алгоритм декодирования в  $m$  раз, что существенно отразится на скорости обработки данных.

Как и при декодировании случайного МПП-кода Галлагера, на вход алгоритму передается оценка вероятностного распределения символов, полученная из канала. Данная оценка представляет из себя вектор длины  $n$  LLR, т. е.  $\mathbf{LLR} \in R^n$ . Так как  $n = mn_0$ , то для LLR справедливо представление (4)

$$\mathbf{LLR} = (\bar{L}_1, \bar{L}_2, \dots, \bar{L}_{n_0}),$$

причем  $\bar{L}_i \in R^m$ ,  $1 \leq i \leq n_0$ .

Выше было введено множество  $I(j)$  — набор переменных  $\{v_1^{(j)}, v_2^{(j)}, \dots, v_{n_0}^{(j)}\}$ , участвующих в  $j$ -й проверке, и множество  $J(i)$  — набор проверок  $\{c_1^{(i)}, c_2^{(i)}, \dots, c_l^{(i)}\}$ , в которые входит  $i$ -я переменная. Рассмотрим произвольный вектор  $\bar{L}_i \in R^m$ . Так как размерность  $\bar{L}_i$  равна  $m$ , а матрицы  $\mathbf{P}_{1i}$ ,  $\mathbf{P}_{2i}$ , ...,  $\mathbf{P}_{li}$  —  $m \times m$  матри-

цы перестановок (т. е. содержат ровно 1 единицу в каждой строке и каждом столбце), то  $\bar{\mathbf{L}}_i$  участвует в  $ml$  различных проверках. Таким образом,  $|J(\bar{\mathbf{L}}_i)| = ml$ . Полученное равенство позволяет нам сделать вывод о том, что элементы  $\bar{\mathbf{L}}_i$  участвуют во всех проверках. Таким образом, при декодировании нам не требуется искать  $J(\bar{\mathbf{L}}_i)$  для каждого вектора  $\bar{\mathbf{L}}_i$ . Проводя аналогичные рассуждения, можно показать, что в  $m$  проверках участвуют  $mn_0$  переменных, поэтому вычисление  $I(j)$  для каждой  $j$ -й проверки также не требуется.

Введем необходимые обозначения:

$\mathbf{LLR} = (\bar{\mathbf{L}}_1, \bar{\mathbf{L}}_2, \dots, \bar{\mathbf{L}}_{n_0})$  — принятый из канала вектор логарифмов отношения правдоподобия, причем  $\bar{\mathbf{L}}_i \in R^m$ ,  $\bar{\mathbf{L}}_i = (l_1^i, l_2^i, \dots, l_m^i)$ ,  $1 \leq i \leq n_0$ ;

$\bar{\alpha}_i$  — вектор знаков (+1 или -1) вектора  $\bar{\mathbf{L}}_i$ , полученного из канала, т. е.  $\bar{\alpha}_i = \text{sign}(\bar{\mathbf{L}}_i) = (\alpha_1^i, \alpha_2^i, \dots, \alpha_m^i)$ , где  $\alpha_t^i = \text{sign}(l_t^i)$ ,  $t = 1 \dots m$ ;

$\bar{\beta}_i$  — вектор модулей вектора  $\bar{\mathbf{L}}_i$ , полученного из канала, т. е.  $\bar{\beta}_i = |\bar{\mathbf{L}}_i| = (\beta_1^i, \beta_2^i, \dots, \beta_m^i)$ , где  $\beta_t^i = |l_t^i|$ ,  $t = 1 \dots m$ ;

$\bar{\alpha}'_i$  — вычисленный вектор знаков для вектора  $\bar{\mathbf{L}}_i$ ;

$\bar{\beta}'_i$  — вычисленный вектор модулей для вектора  $\bar{\mathbf{L}}_i$ ;

$\bar{\gamma}_{ji}$  — вектор сообщений от  $j$ -й группы из  $m$  проверок к  $\bar{\mathbf{L}}_i$ ;

$\bar{\alpha}_{ji}$  — вектор знаков (покомпонентный) сообщений от переменных  $\bar{\mathbf{L}}_i$  к  $j$ -й группе из  $m$  проверок;

$\bar{\beta}_{ji}$  — вектор модулей (покомпонентный) сообщений от переменных  $\bar{\mathbf{L}}_i$  к  $j$ -й группе из  $m$  проверок.

Изложенный ниже алгоритм декодирования применим только для МПП-кодов, основанных на матрицах перестановок, и работает с проверочной матрицей, представленной в форме (3):

$$\mathbf{H} = \begin{pmatrix} \pi_{11} & \dots & \dots & \pi_{1n_0} \\ \dots & \dots & \dots & \dots \\ \pi_{l1} & \dots & \dots & \pi_{l,n_0} \end{pmatrix}.$$

Декодирование включает в себя следующие шаги.

1. *Начальную проверку*: по принятому из канала вектору  $\mathbf{LLR} = (\bar{\mathbf{L}}_1, \bar{\mathbf{L}}_2, \dots, \bar{\mathbf{L}}_{n_0})$  строится «жесткое решение»  $\mathbf{x}$ , вычисляется синдром  $\mathbf{Hx}^T$  согласно алгоритму, описанному в предыдущем разделе. Если синдром равен нулевому вектору, то декодирование прекращается и  $\mathbf{x}$  является результатом выполнения алгоритма, иначе переходим к шагу 2.

2. *Инициализацию*: строим матрицы  $\mathbf{A}$  и  $\mathbf{B}$  по правилу

$$\mathbf{A} = \begin{pmatrix} \bar{\alpha}_{11} & \bar{\alpha}_{12} & \dots & \bar{\alpha}_{1,n_0-1} & \bar{\alpha}_{1n_0} \\ \bar{\alpha}_{21} & \bar{\alpha}_{22} & \dots & \bar{\alpha}_{2,n_0-1} & \bar{\alpha}_{2n_0} \\ \dots & \dots & \dots & \dots & \dots \\ \bar{\alpha}_{l1} & \bar{\alpha}_{l2} & \dots & \bar{\alpha}_{l,n_0-1} & \bar{\alpha}_{l,n_0} \end{pmatrix} = \begin{pmatrix} \pi_{11}(\text{sign}(\bar{\mathbf{L}}_1)) & \pi_{12}(\text{sign}(\bar{\mathbf{L}}_2)) & \dots & \pi_{1,n_0-1}(\text{sign}(\bar{\mathbf{L}}_{n_0-1})) & \pi_{1n_0}(\text{sign}(\bar{\mathbf{L}}_{n_0})) \\ \pi_{21}(\text{sign}(\bar{\mathbf{L}}_1)) & \pi_{22}(\text{sign}(\bar{\mathbf{L}}_2)) & \dots & \pi_{2,n_0-1}(\text{sign}(\bar{\mathbf{L}}_{n_0-1})) & \pi_{2n_0}(\text{sign}(\bar{\mathbf{L}}_{n_0})) \\ \dots & \dots & \dots & \dots & \dots \\ \pi_{l1}(\text{sign}(\bar{\mathbf{L}}_1)) & \pi_{l2}(\text{sign}(\bar{\mathbf{L}}_2)) & \dots & \pi_{l,n_0-1}(\text{sign}(\bar{\mathbf{L}}_{n_0-1})) & \pi_{l,n_0}(\text{sign}(\bar{\mathbf{L}}_{n_0})) \end{pmatrix};$$

$$\mathbf{B} = \begin{pmatrix} \bar{\beta}_{11} & \bar{\beta}_{12} & \dots & \bar{\beta}_{1,n_0-1} & \bar{\beta}_{1n_0} \\ \bar{\beta}_{21} & \bar{\beta}_{22} & \dots & \bar{\beta}_{2,n_0-1} & \bar{\beta}_{2n_0} \\ \dots & \dots & \dots & \dots & \dots \\ \bar{\beta}_{l1} & \bar{\beta}_{l2} & \dots & \bar{\beta}_{l,n_0-1} & \bar{\beta}_{l,n_0} \end{pmatrix} = \begin{pmatrix} \pi_{11}(|\bar{\mathbf{L}}_1|) & \pi_{12}(|\bar{\mathbf{L}}_2|) & \dots & \pi_{1,n_0-1}(|\bar{\mathbf{L}}_{n_0-1}|) & \pi_{1n_0}(|\bar{\mathbf{L}}_{n_0}|) \\ \pi_{21}(|\bar{\mathbf{L}}_1|) & \pi_{22}(|\bar{\mathbf{L}}_2|) & \dots & \pi_{2,n_0-1}(|\bar{\mathbf{L}}_{n_0-1}|) & \pi_{2n_0}(|\bar{\mathbf{L}}_{n_0}|) \\ \dots & \dots & \dots & \dots & \dots \\ \pi_{l1}(|\bar{\mathbf{L}}_1|) & \pi_{l2}(|\bar{\mathbf{L}}_2|) & \dots & \pi_{l,n_0-1}(|\bar{\mathbf{L}}_{n_0-1}|) & \pi_{l,n_0}(|\bar{\mathbf{L}}_{n_0}|) \end{pmatrix}.$$

3. *Горизонтальный шаг*: строим матрицу  $l \times n_0$  сообщений от  $j$ -й группы проверок к  $i$ -му вектору переменных:

$$\mathbf{\Gamma} = \begin{pmatrix} \bar{\gamma}_{11} & \dots & \bar{\gamma}_{1,n_0-1} & \bar{\gamma}_{1n_0} \\ \dots & \dots & \dots & \dots \\ \bar{\gamma}_{l1} & \dots & \bar{\gamma}_{l,n_0-1} & \bar{\gamma}_{l,n_0} \end{pmatrix},$$

где  $\bar{\gamma}_{ji} = \left( \prod_{\substack{t=1 \\ t \neq i}}^{n_0} \bar{\alpha}_{jt} \right) \cdot \bar{\Phi} \left( \sum_{\substack{t=1 \\ t \neq i}}^{n_0} \bar{\Phi}(\bar{\beta}_{jt}) \right)$ , причем отображение  $\bar{\Phi}: R^m \rightarrow R^m$  имеет следующий вид:  $\bar{\Phi}(\bar{\mathbf{x}}) = \ln \left( \frac{e^{\bar{\mathbf{x}}} + 1}{e^{\bar{\mathbf{x}}} - 1} \right)$ .

4. *Вертикальный шаг*: вычисление сообщений от  $i$ -го вектора переменных к  $j$ -й группе проверок:

$$\bar{\alpha}_i \bar{\beta}'_i = \bar{\alpha}_i \bar{\beta}_i + \sum_{t=1}^l \pi_{ti}^{-1}(\bar{\gamma}_{ti});$$

$$\bar{\alpha}_j \bar{\beta}_j = \pi_{ji} \left( \bar{\alpha}_i \bar{\beta}'_i + \sum_{\substack{t=1 \\ t \neq j}}^l \pi_{ti}^{-1}(\bar{\gamma}_{ti}) \right).$$

5. *Вычисление синдрома*: по вычисленным  $\bar{\alpha}_i \bar{\beta}'_i$ ,  $1 \leq i \leq n_0$ , строится «жесткое решение»  $\mathbf{x}$  и вычисляется синдром  $\mathbf{S}$ ; если  $\mathbf{S} = \mathbf{0}$ , то декодирование прекращается и  $\mathbf{x}$  считается результатом работы декодера. Если синдром не нулевой, то возвращается на шаг 3.

Вертикальный и горизонтальный шаги выполняются ограниченное число раз. Если достигнуто максимальное число итераций, то алгоритм прерывается и блок считается принятым с ошибкой.

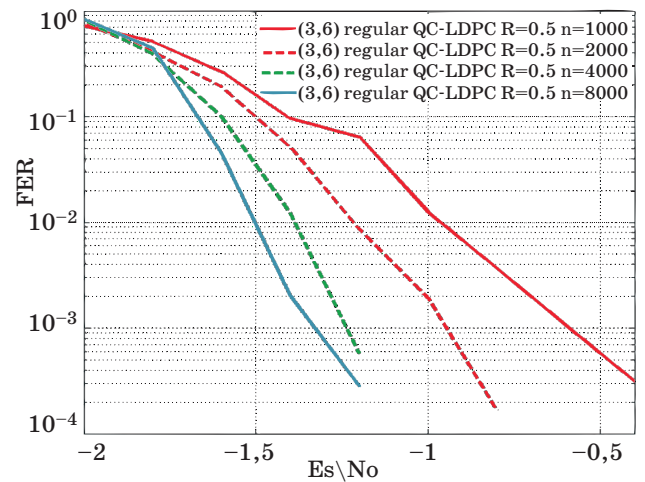
Описанный выше алгоритм оперирует только с векторами длины  $m$ , не обращая явно к отдельным символам. Таким образом, процесс декодирования можно осуществлять параллельно для  $m$  символов.

### Результаты имитационного моделирования

Для практической реализации описанного в статье алгоритма декодирования МПП-кодов, основанных на матрицах перестановок, была написана функция для MatLab. Для рассмотренного в работе декодера производилось имитационное моделирование с использованием среды MatLab. Передача данных осуществлялась по каналу с аддитивным белым гауссовым шумом и двоичной фазовой модуляцией. Максимальное число итераций ограничивалось 50. В качестве МПП-кодов, основанных на матрицах перестановок, были выбраны квазициклические коды QC-LDPC.

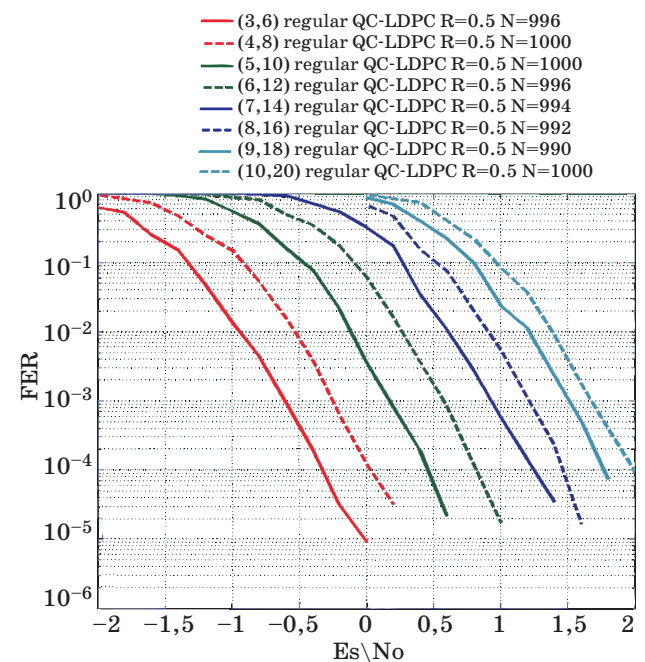
Результаты моделирования 4 кодов различных длин из ансамбля  $\varepsilon_Q(l, n_0, m)$  при фиксированном числе слоев и столбцов и скорости представлены на рис. 2. Из рисунка следует, что энергетический выигрыш при использовании кода длины 2000 по сравнению с кодом длины 1000 составляет около 0,35 дБ (по уровню вероятности ошибки на блок  $10^{-3}$ ); в то же время при переходе от длины 2000 к 4000 выигрыш составляет уже порядка 0,3 дБ при аналогичном уровне вероятности ошибки; увеличение длины кода от 4000 к 8000 уже практически не улучшает корректирующих свойств (выигрыш менее 0,1 дБ).

Результаты моделирования 8 квазициклических кодов длин  $N_i \sim 1000$  при фиксированной скорости и различном числе слоев  $l$  представлены

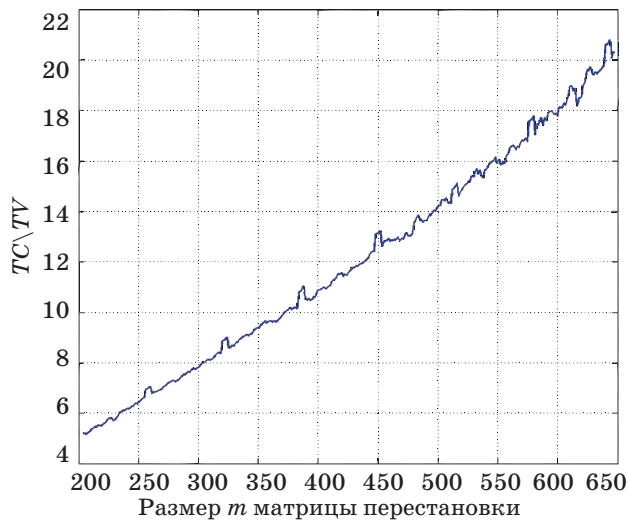


■ Рис. 2. Зависимость вероятности ошибки на блок (FER) от отношения сигнал/шум на кодированный бит ( $E_s/N_0$ ) для регулярных квазициклических МПП-кодов при различных длинах  $n$

на рис. 3. Как следует из рисунка, наилучшими корректирующими свойствами обладает код с наименьшим числом слоев  $l = 3$ . Переход от  $l = 3$  к  $l = 4$  приводит к энергетическому проигрышу порядка 0,3 дБ (по уровню вероятности ошибки на блок  $10^{-4}$ ). Дальнейшее увеличение  $l$  также приводит к ухудшению корректирующих свойств кода, хотя при  $l > 6$  ухудшение становится незначительным.



■ Рис. 3. Зависимость вероятности ошибки на блок (FER) от отношения сигнал/шум на кодированный бит ( $E_s/N_0$ ) для регулярных квазициклических МПП-кодов при различном числе слоев  $l$



■ **Рис. 4.** Зависимость отношения  $TC/TV$  ( $TC$  — время декодирования классическим алгоритмом belief propagation,  $TV$  — время декодирования векторным belief propagation) от  $m$  для (3, 6) регулярного квазициклического МПП-кода при отношении сигнал/шум на бит  $E_s/N_0 = 2$  дБ

В то же время из работ [1, 9, 10] следует, что увеличение  $l$  при фиксированной длине кода  $n$  и его скорости  $R$  приводит к увеличению минимального кодового расстояния  $d$ . Следовательно, чем больше число слоёв  $l$ , тем меньшую часть

доли исправляемых ошибок реализует алгоритм belief propagation.

Таким образом, belief propagation хорошо работает только с кодами с наилучшими потенциальными корректирующими свойствами.

Вывод о том, что предложенный в статье алгоритм декодирования уже при сравнительно небольших  $m$  даёт выигрыш по времени декодирования минимум в 5 раз по сравнению с декодером, предложенным в работе [1], позволяет сделать рис. 4. Отметим, что моделирование обоих алгоритмов проводилось в среде MatLab. При  $m = 600$  векторный алгоритм декодирования работает примерно в 20 раз быстрее классического belief propagation. При этом следует отметить практически линейную зависимость отношения  $TC/TV$  от  $m$ .

### Заключение

Предложен векторный алгоритм декодирования МПП-кодов, основанных на матрицах перестановок. Для декодера осуществляется распараллеливание в  $m$  раз, где  $m$  достаточно велико. Данный подход позволяет существенно увеличить скорость декодирования. Поскольку к современным сигнально-кодовым конструкциям предъявляются достаточно жесткие требования по скорости обработки и передачи данных, то построенный декодер может иметь практическую ценность.

### Литература

1. Галлагер Р. Дж. Коды с малой плотностью проверок на четность. — М.: Мир, 1966. — 90 с.
2. Tanner M. A. Recursive Approach to Low Complexity Codes // IEEE Trans. Inform. Theory. 1981. Vol. 27. N. 5. P. 533–547.
3. Fossorier P. C. Quasi-cyclic low-density parity-check codes from circulant permutation matrices // IEEE Trans. Inform. Theory. 2004. Vol. 50. N. 8. P. 1788–1793.
4. Lu J., Moura M. F., Niesen U. Grouping-and-shifting designs for structured LDPC codes with large girth // Proc. of IEEE Intern. Symp. on Information Theory (ISIT'04). 2004. P. 236.
5. Gabidulin E., Moinian A., Honary B. Generalized construction of quasi-cyclic regular LDPC codes based on permutation matrices // Proc. of IEEE Intern. Symp. on Information Theory (ISIT'06). 2006. P. 679–683.
6. Ivanov F. I., Zyablov V. V., Potapov V. G. Low-Density Parity-Check Codes Based on Galois Field // Information Processes. 2012. Vol. 12. N. 1. P. 68–83.
7. Иванов Ф. И., Зяблов В. В., Потапов В. Г. Оценка минимальной длины циклов квазициклических регулярных кодов с малой плотностью проверок на четность // Информационно-управляющие системы. 2012. № 3. С. 42–45.
8. Иванов Ф. И., Зяблов В. В., Потапов В. Г. Сравнение различных конструкций двоичных МПП-кодов, построенных на основе матриц перестановок // Информационные процессы. 2012. Т. 12. № 1. С. 31–52.
9. Шридхаран А. и др. О минимальном расстоянии низкоплотностных кодов с проверочными матрицами, составленными из перестановочных матриц // Проблемы передачи информации. 2005. Т. 41. № 1. С. 39–52.
10. Зяблов В. В., Пинскер М. С. Оценка сложности исправления ошибок низкоплотностными кодами Галлагера // Проблемы передачи информации. 1975. Т. 11. № 1. С. 23–36.